

日本大学 大学院 学○福島 伸一
東京大学 生産研究所 正 龍園 文夫

1. まえがき：砂の動的せん断変形係数 G は、拘束応力条件により変化するが、等方及非等方応力状態での G についてのは既に報告されている。今回、初期せん断応力を等方及非等方応力状態にある供試体に作用させた場合の G について報告する。

2. 実験方法と G の定義：実験は、外径10cm、内径6cm、高さ10cmの中空供試体を用いる中空ねじり試験機により全て排水状態で行ない、試料は飽和させた豊浦砂を用いた。応力状態は、等方及非等方共に平均主応力 $p = 1 \text{ kg/cm}^2$ である。(図-1) そのぞめの応力状態である大きさのねじりせん断応力で($\sigma_0 = 0.05, 0.10, 0.20 \text{ kg/cm}^2$)を初期せん断応力として先づ与えてから、荷重制御、周波数 $f = 0.1 \text{ Hz}$ でせん断応力振幅を段階的に上げ、それまで10回ずつ繰り返した。せん断変形係数 G は、図-1で示すF. ような応力-歪曲線のループの頂点を結ぶ直線の傾きとした。

3. 等方応力状態($\sigma_0/\sigma_r = 1.0$)において σ_0 が G に及ぼす影響：等方応力状態での σ_0 の影響を示すため、縦軸に G/G_r 、横軸にせん断歪振幅 γ とし、 $\sigma_0/\sigma_r = 1.0, T_0 = 0$ での結果と比較して示したもののが図-2である。また図-3には各歪レベルにおいて σ_0 が G に及ぼす影響について示す。これらより G は σ_0 により影響を受け、 $T_0 = 0$ での G は γ の割合で低下し、その程度は各歪レベルでほぼ同一であることをわかる。この実験では、 $T_0 = 0.10$ 時の影響が最も大きいが、必ずしも σ_0 が大きいと G の低下が大きくなるとの限らないこと、また供試体に生ずる全歪($\sigma_0 + \epsilon$)が破壊歪に近づくと変形が大きくなり歪領域($\gamma = 10^{-4} \sim 10^{-2}$)における G が得られるということに注意すべきである。

4. 異方応力状態($\sigma_0/\sigma_r \neq 1.0$)における σ_0 が G に及ぼす影響：表-1は異方応力状態での σ_0 が G に及ぼす影響についての実験一覧表である。図-4に異方応力状態での σ_0 が G に及ぼす影響を、 $\sigma_0/\sigma_r = 1.0, T_0 = 0$ での結果と比較して整理し、図-5に各歪レベル及び各応力状態における σ_0 が G に及ぼす影響について、既に報告した $\sigma_0/\sigma_r \neq 1.0$ 、

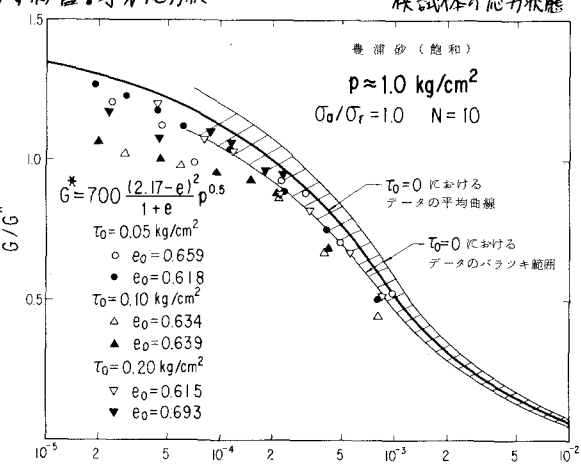
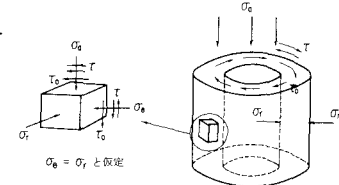
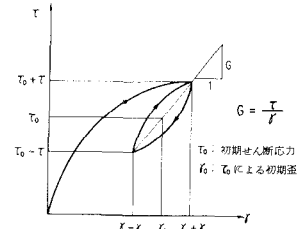


図-2. 等方応力状態において σ_0 が G に及ぼす影響

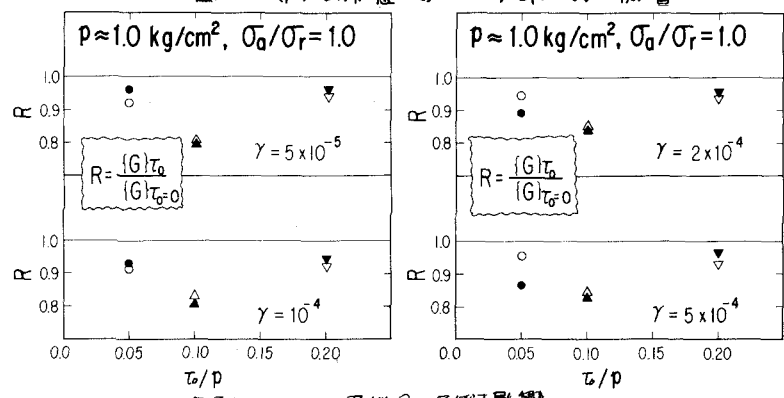


図-3. 各歪レベルにおいて σ_0 が G に及ぼす影響

試験番号	応力比 R_c, R_s	初期せん断応力 τ_0 (kg/cm^2)	初期間隔比 c_0	記号	備考
1		0.05			
2	$R_c = 2$	0.10	0.635	△	二軸圧縮
3		0.20	0.612	□	$R_s = \frac{\sigma_s}{\sigma_r}$
4		0.05	0.631	▽	
5	$R_c = 3$	0.10	0.652	○	
6		0.20	0.576	△	
7		0.05	0.585	●	三軸伸張
8	$R_c = 2$	0.10	0.640	▲	$R_s = \frac{\sigma_s}{\sigma_r}$
9		0.20	0.573	■	
10		0.05	0.658	▼	
11	$R_c = 3$	0.10	0.605	●	
12		0.20	0.618	▲	

表-1. 実験結果における G/G^* 及び G の影響についての表
 $\tau_0=0$ の結果と比較してある。これらより、バラツキはあるが、異方応力状態でも各垂れレベルにおいてほぼ同一に G の影響を受け、その低下は等方応力状態におけるより大きいことがわかるが、その低下の一部は異方応力状態に帰因するものも含んでいる。
 すなはち、二の場合の G は応力の異方状態 ($\sigma_s/\sigma_r=1.0$) と初期せん断応力 τ_0 の両者の影響を受けることになる。但し、既報¹⁾によれば、 G は等方応力から異方応力状態 $R_c=3$ (三軸圧縮) 附近までの応力範囲では異方応力状態による影響がほとんどない、小さいことながら、ここでこれ以外の応力状態の場合のみ、異方応力状態の影響を考える必要がある。

5. 結論：豊浦砂の動的せん断変形係数 G は、等方及び異方応力状態の下での影響を受けるか、
 これは $\sigma_s/\sigma_r=1.0, \tau_0=0$ における G/G^* の関係の平均曲線から G/G^* の値のずれにより知ることができる。
 このすれば、 G に影響を及ぼすもうとして実験式

$$G = K(Y) \frac{(2.17-e)^2}{1+e} p^{0.5} \quad (1)$$

において考えているせん断歪振幅 γ の大きさ、間隔比 e 、平均主応力 p 以外の影響、つまり初期せん断応力 τ_0 と応力の異方状態に基づく静的なせん断応力 (等方から三軸圧縮 $R_c=3$ 附近以内) によるせん断変形により生ずる砂構造変化の影響によるものと考えられる。これは共振法試験機による結果を報告しているものと同一である²⁾。すなはち影響の程度は、各垂れレベルにおいてほぼ同一であるので、 G は τ_0 、 γ による定数 D (< 1.0) を用いて次式で表すことができる。

$$G = D \cdot K(Y) \frac{(2.17-e)^2}{1+e} p^{0.5} \quad (D < 1.0) \quad (2)$$

6. 謝辞：本実験は、建設省土木研究所振動研究室で実施したものであり、岩崎敏男室長、常田慶一氏、高木義和氏、吉田精一氏、(株)応用地質今野政志氏らの御指導、御協力を得た。末筆ながら感謝いたします。

7. 参考文献：1) 岩崎、龍園、須藤(1977)、砂のせん断変形係数に対する応力条件の影響、第2回土壤力学研究会
 2) 土研資料、第912号(1974), PP55

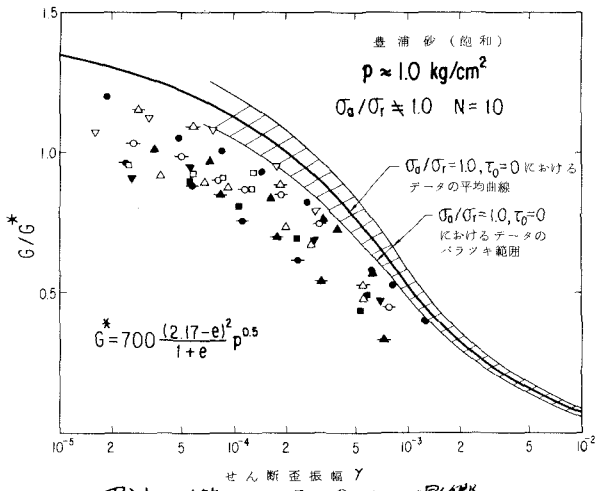


図-4. 異方応力状態における G 及び G^* の影響

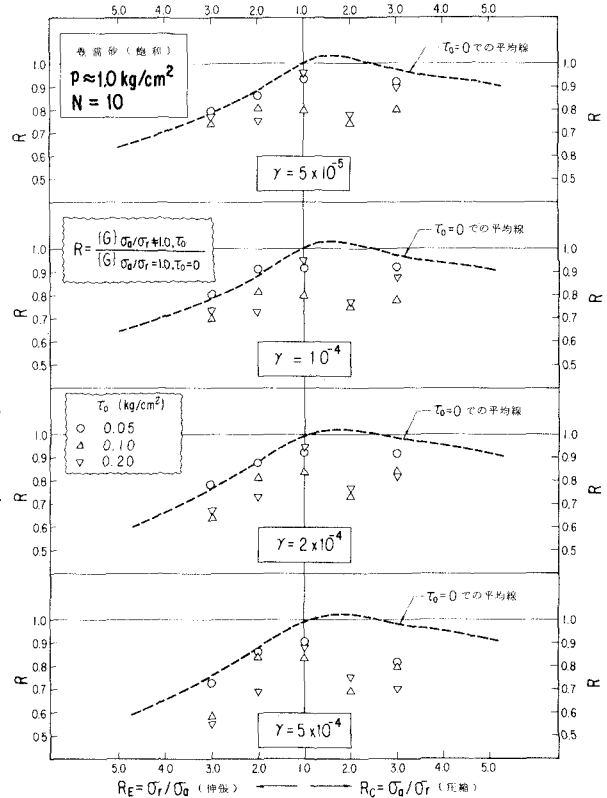


図-5. 各応力状態及び各垂れレベルにおける G 及び G^* の影響